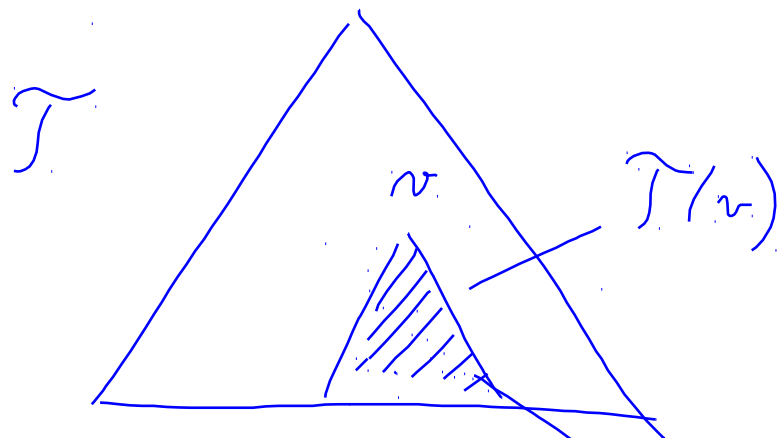
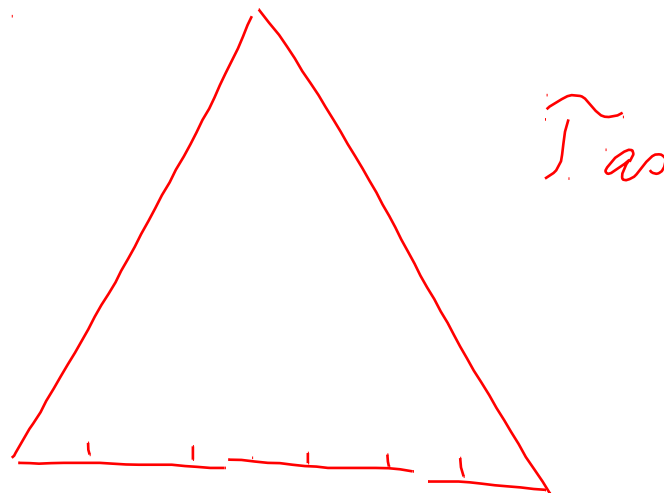


# RANGE TREES

Vykhledávací struktura



$$P = \{p_1, p_2, \dots, p_m\}$$

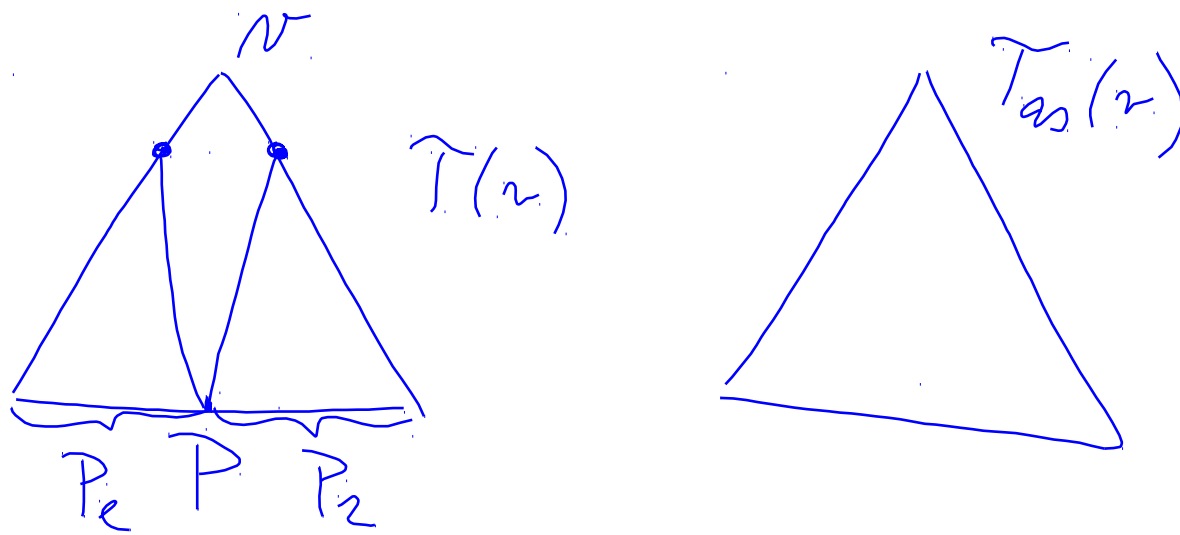


vyhledávací uzel  $x$  →  
vyhledávací uzel  $y$   
 $T_{as}(v)$   
vyhledávací uzel  $y$   
 $P$  lze vložit mezi jeho  
u.  $T(v)$

(2)

Algorithmus für cylinderische Wanne

- Input: minima  $P$
- Rückfrage je hoher Range Tree



Das ist die 'naive' Konstruktion zu obigen Schätzungen

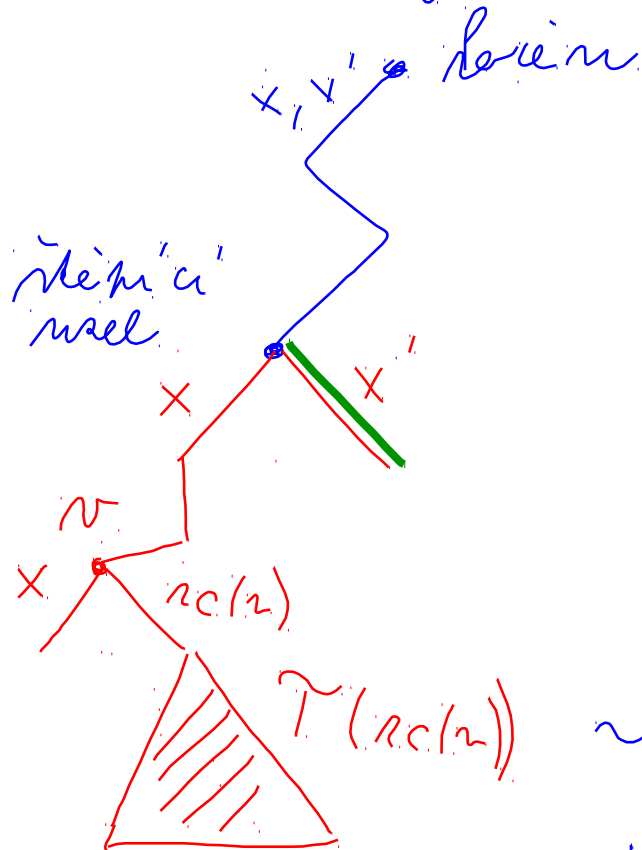
$$T(n) = 2T\left(\frac{n}{2}\right) + O(n) \Rightarrow T(n) = O(\log n \cdot n)$$

Wir suchen nun eine verbesserte Wannenmethode.

③

Nyfledkraini n. range tree - "pedalne" jahod dim 1.

$[x_1, x'] \times [y_1, y']$  from node y

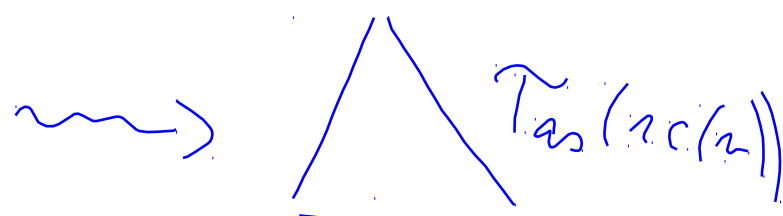


analogicky "polup mo"

$x'$

- viz algoritmus

m e - learning



je dodejmenovatim nyfledkraini

o  $Tas(rc(n))$  node y

(4)

## Casova "naivná" metoda vyhľadávania

Prostredníctvom cestov od hrebeňa k líške smerom vzhľadom k  $x$ , alebo v smere  $x'$ .

V každej miestnosti sú všetky susedné vrcholy v asociačnej zozupe ( $\text{na } x$ ) následne ( $\text{na } x'$ ) poskrabávané, ne hľadajú sa ďalej.

Čas na hľadanie je  $O(k_n + \log n)$

$$\text{Celkový čas: } O\left(\sum_n (k_n + \log n)\right) = O(k_1 + \dots + k_N + \log n \cdot \log n) = O(k + \log^2 n)$$

Výtažok: Počet čas na vyhľadávanie je

$$O(\log^2 n + k) \quad \begin{array}{l} \text{n je počet bodov v množine P} \\ \text{k je počet bodov v obdobích} \end{array}$$

(5)

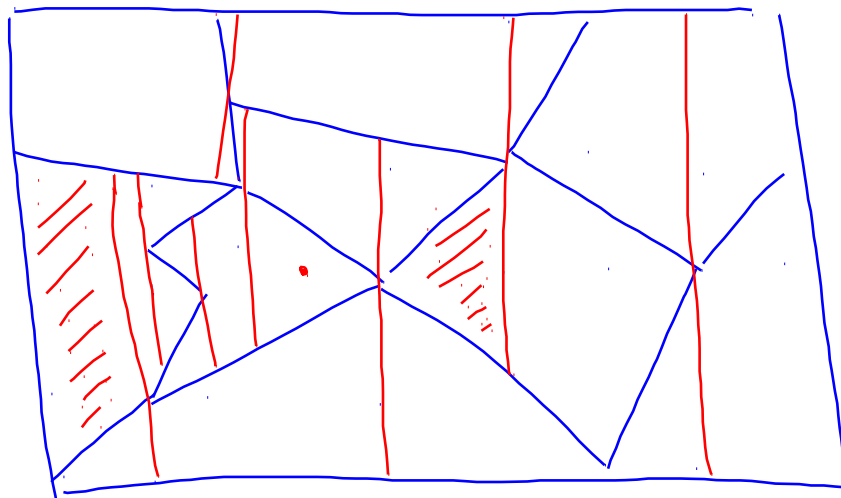
Obecní n dimenze d je nazávazná "mále dílčí":

	kd. množ.	range trees
počet	$O(n)$	$O(n \log n)$
čas konstrukce	$O(n \log n)$	$O(n \log^{d-1} n)$
čas vyhledání	$O(n^{1-\frac{1}{d}} + k)$	$O(\log^{d-1} n + k)$

(6)

## LOKALIZACE BODU

1) dani "mapě" chceme najít náhledovou strukturu, která  
při zadání bodu měj, všechny oblasti podlej.



Příklad na náhledovou strukturu  
a najít všechny oblasti podlej  
mapa.

2) dani ha vymeněte poloměrem  
násobkem poloměru poloměrem,  
které jeho vlastní hodnota je A.

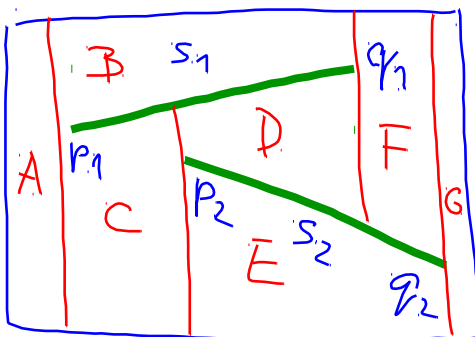
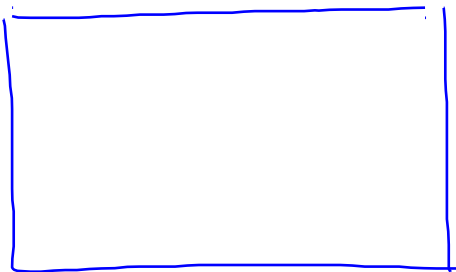
Vidly, kromě nichdy obdélníka, nekterým nejsou oddělena  
mají něco X-one rozdělnice. Čárem užíváme, jak nechvalo  
odklanit.

(7)

Konstrukcií "lichéniu" hore mápy a myšlenia sú "súhrnujúce" monedeme. Na minima níčie.  $S = \{s_1, s_2, \dots, s_n\}$  dane hó rečime "ka predordelení".

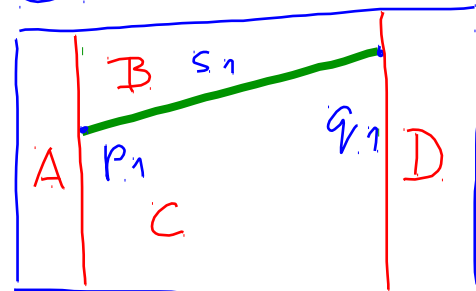
Konstrukcie je "prvá". Predpokladame, že níčky níčky ležia v množstvku  $R$ . Tento množstvok je "lichéniom" mapy pre všetkovu minima níčiek. Keďže  $S_i = \{s_1, \dots, s_i\}$  a  $T(S_i)$  lich. mapa na  $S_i$ , tak myšlime si keď mápy súdajú níčky  $s_{i+1}$  lich. mapu na  $S_{i+1} = \{s_1, s_2, \dots, s_{i+1}\}$ .

R

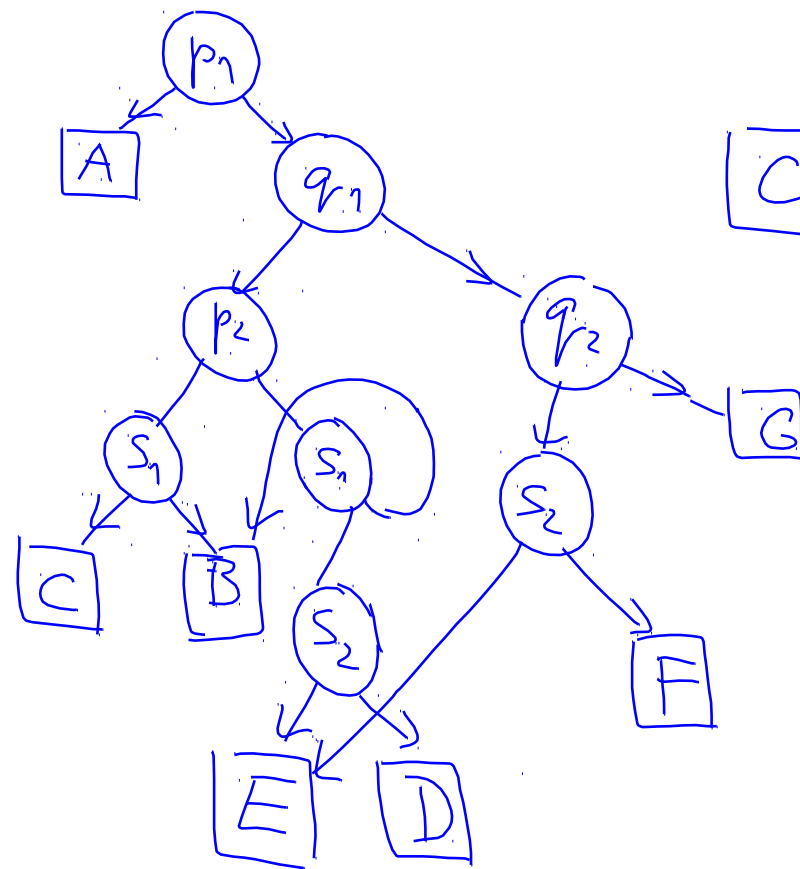


$\mathcal{T}(S_2)$

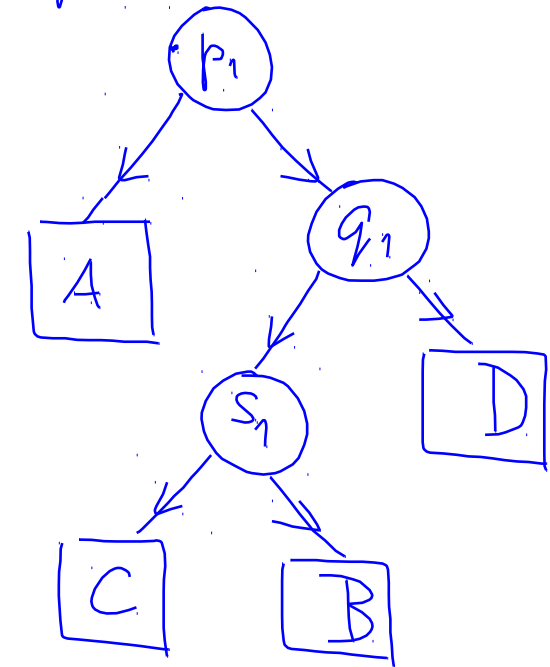
(8)



lich. mapa



mgl. struktura



$\mathcal{D}(S_2)$

(9)

Nyfledávaní struktura  $\mathcal{D}(S)$  je orient. graf.

2. kandidát na vstupy doho dřev máry. Nebyly jsou  
end' místy nebo ježcích majn' bády. V nichéz  
jsou lichenim'ky.

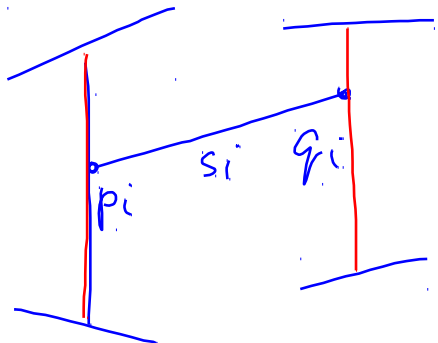
Nic'ka si .... lej majn' bád. Pi  
pan' majn' bád. Gi

Lemma: Lichenim'ky mapa plánu nícečka má  
mínim' 6m+4 nicholu a  $3m+1$  lichenim'ky.

Důkaz: Počet nicholu - počet nicholu R má 4.

Konc. bády nícečka je nejmíne  $2 \times n = 2n$

(Nícečky ne mohou majit ne méně nichol bádach, ale mohou mít  
málo(méně) koncové bády.)



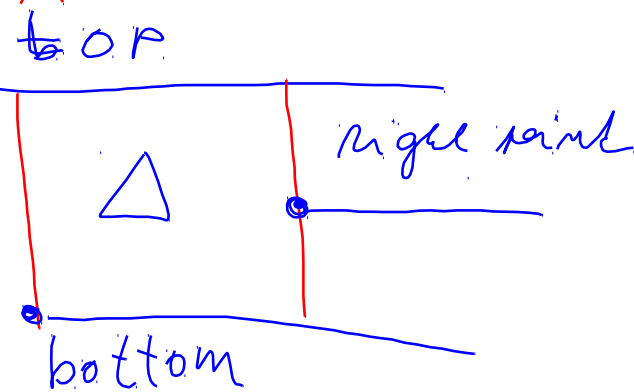
(10)

Veličiny po "hardy" konc. kde mohou vplivat  
dalin" do vody - celkem  $2 \cdot 2m = 4m$ .

Celkem vodolu°  $6m + 4$ .

Před poháněním lichoběžníku zavírejme mezikříž pojmu.

*Popis lichoběžníka*

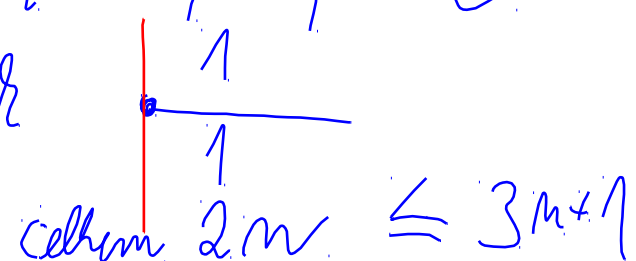


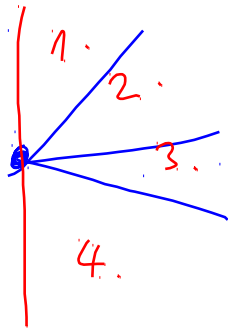
Kandy" lichoběžník je poprvé  
zavírána 4 nádaji

Pohánění lichoběžníku - když lichoběžníku změníme pravidly lze" lze" když



Celkem m



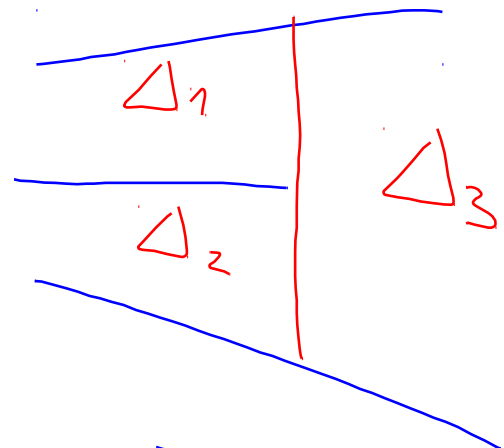


(11)

od had 2.3, muklejnost 4 lichenisty.

Souřidná lichenistý

mají muklejnost vertikálně následuj.



$\Delta_3$  je maj. horizontálně  
lich.  $\Delta_1$

$\Delta_2$  je dominantní  
lichenistý  $\Delta_3$

### Algoritmus řešení

Vezmeme metodou pořadí následk.  $s_1, s_2, \dots, s_n$ .

2. lich. můžete  $T(s_i)$  a muklejnostní můžete  $D(s_i)$

vidíme  $s_{i+1}$  následují  $T(s_{i+1})$  a  $D(s_{i+1})$ .

(12)

 $\tau(S_i)$ 

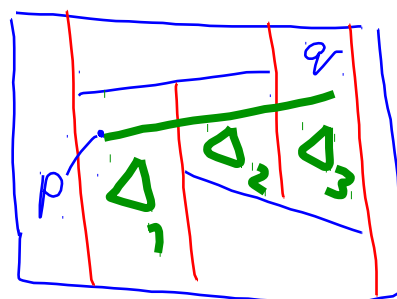
Počín: (1) Najdeme kickeňky, ktorími malíme súčtu  $S_{i+1}$ .

(2) V.  $\tau(S_i)$  zrušime tyto kickeňky a nahradíme moyami.

(3) V.  $\mathcal{D}(S_i)$  zrušime lisy po kickeňkach "málozené"  
 v (1) a na nich následne debrúme graf poset podgrafu  
 v lisy málozených v (2).

Algoritmus pre (1) FOLLOW SEGMENT

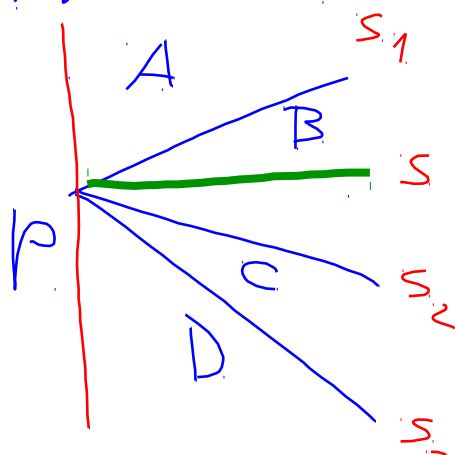
- máme  $\tau(S_i)$  a  $\mathcal{D}(S_i)$ . Nachádzame  $S = S_{i+1} \cap$  horizontálny  $p = p_{i+1}$   
 a  $q = q_{i+1}$ .



(13)

S "podaci" lichenišćity  $\Delta_1, \Delta_2, \dots, \Delta_k$ . Jačji nejednac.

Domeni  $\mathcal{D}(S_i)$  zajedno, neklikom lichenišćim leži pod  $P$ , tehniku pomoći mikadem miješaći u  $S_i$ . Pehud pomoći mikadem (moguć) rice miješati, postupajmo na sljedeće:



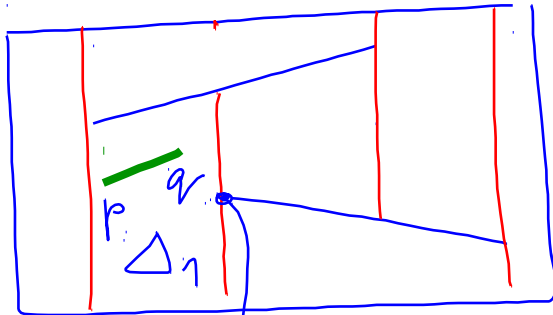
$$\Delta_1 = B \text{ "ubal" miješati}$$

miješati  $S$  leži mjeri  
miješati miješati  
 $S_1 \& S_2$ .

miješati  $S$  je

$$\frac{q_{2y} - p_{2y}}{q_{2x} - p_{2x}} < \frac{q_y - p_y}{q_x - p_x} < \frac{q_{1y} - p_{1y}}{q_{1x} - p_{1x}}$$

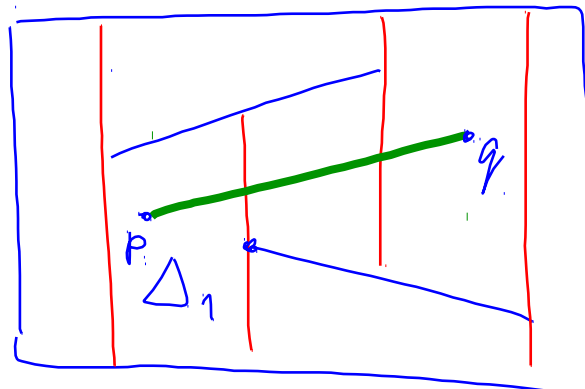
Měříme  $\Delta_2$



ještě když  $q_x < x \cdot \cos \alpha_2$   
máme

$$\rightarrow r_p(\Delta_1)$$

tedy s linií celá v  $\Delta_1$



$$q_x > r_p(\Delta_1)_x$$

$\Delta_2$  je méně než  $\Delta_1$

horní, jinak je  $r_p(\Delta_1)$  horší než s

dolní, jinak je  $r_p(\Delta_1)$  horší než s

atd.